

05,10

Динамика магнитных скирмионов в наноточках

© З.В. Гареева^{1,2}, К.Ю. Гуслиенко^{3,4}

¹ Институт физики молекул и кристаллов — обособленное структурное подразделение Федерального государственного бюджетного научного учреждения Уфимского федерального исследовательского центра Российской академии наук, Уфа, Россия

² Башкирский государственный университет, Уфа, Россия

³ Depto. Física de Materiales, Facultad de Química, Universidad del País Vasco, UPV/EHU, 20018 San Sebastián, Spain

⁴ IKERBASQUE, the Basque Foundation for Science, 48013 Bilbao, Spain

E-mail: gzv@anrb.ru

Исследованы магнитные скирмионы Блоха и Нееля в системах ограниченной геометрии (наноточках, линейном массиве наноточек). Рассчитаны спектры низкочастотных и высокочастотных мод возбуждений скирмионного состояния. Показано, что асимметрия скирмионного спектра, а именно, характерное различие частот азимутальных мод скирмионов, вращающихся по и против часовой стрелки, связано с асимметрией профилей намагниченности высокочастотных спиновых волн, распространяющихся на фоне скирмионного состояния в наноточке. В низкочастотном спектре выделяется единственная гиротропная мода, локализованная в окрестности центра наноточки. Значение гиротропной частоты зависит от материальных параметров наноточки и размера скирмиона. Собственная частота гиротропной моды изолированного скирмиона в наноточке в ультратонких пленках ($L \sim 1$ nm) не зависит от внутренней структуры скирмиона и является одинаковой для скирмионов блоховского и неелевского типов. Взаимодействие скирмионов, в частности, в линейной цепочке наноточек с основным скирмионным состоянием, приводит к различиям низкочастотных спектров. Структура скирмиона (Блоха или Нееля) проявляется в сдвиге дисперсионных кривых и различии частот ферромагнитного резонанса системы взаимодействующих скирмионов.

Работа З.В.Г. поддержана Российским фондом фундаментальных исследований (грант № 16-02-00336 А). Работа К.Ю.Г. поддержана IKERBASQUE (the Basque Foundation for Science), the Spanish MINECO grant FIS2016-78591-C3-3-R and the European Union's Horizon 2020 research and innovation program under the Marie Skłodowska-Curie grant N 644348.

DOI: 10.21883/FTT.2018.06.45988.23M

1. Введение

Магнитные вихри и скирмионы, являясь устойчивыми наноразмерными объектами, привлекают активное внимание исследователей, что связано с перспективами развития спинтроники, устройств сверхплотного хранения информации, магнитной памяти нового поколения, в которых в качестве активных функциональных элементов могут выступать скирмионы. Скирмионы, разновидность 2D магнитных солитонов, являются микромагнитными объектами с нетривиальной топологией и представляют несомненный интерес для фундаментальных исследований.

Скирмионные состояния — это локализованные неоднородные распределения намагниченности с выраженной m_z компонентой, перпендикулярной к плоскости системы, в которой реализуются скирмионы. Скирмионы имеют ненулевой топологический заряд ($N = 1$) и характеризуются сильной локализацией (размеры магнитных скирмионов, которые были получены на сегодняшний день, составляют 50–100 nm). Для реализации скирмионных состояний требуются определенные условия. Скирмионные гексагональные решетки возникают в кристаллах B20 (типа MnSi) с нарушенной простран-

ственной инверсией [1–3], а индивидуальные скирмионы генерируются при приложении магнитного поля и действию электрического тока [4–6] в ультратонких пленках и наноточках под действием взаимодействия Дзялошинского–Мория.

В настоящее время ведется активный поиск методов получения устойчивых высокотемпературных скирмионов, что достигается в материалах с сильной спин-орбитальной связью — в ультратонких пленках Co/Pt, Pt/Co/Ir, в которых взаимодействие Дзялошинского–Мория, возникающее на интерфейсе, стабилизирует скирмионные состояния [4–6]; в искусственных средах: структурированных пленках (patterned films), сочетающих магнитомягкие и магнитожесткие слои [7], а также в периодических массивах наноточек с устойчивой скирмионной конфигурацией в основном состоянии [8–10].

Динамика скирмионов представляет большой интерес с точки зрения перспективы практических приложений. Топологический и скирмионный эффекты Холла, связанные с ненулевым топологическим зарядом; зонная структура спектра скирмионных магнитных кристаллов; возможность динамического управления скирмионными состояниями электрическими токами малых плотностей в энергосберегающем режиме открывают широкие пер-

спективы использования скирмионов в устройствах магноники и спинтроники. Как показывают теоретические и экспериментальные исследования последних лет, движущиеся магнитные скирмионы обнаруживают нетривиальные физические свойства. Одним из динамических проявлений сложной микромагнитной структуры скирмионного состояния является асимметрия мод спиновых возбуждений, вращающихся в направлениях по и против часовой стрелки (CW и CCW моды). Различия частот CW и CCW мод были определены на основе численных расчетов в 2012 г. [11], однако интерпретация спектров магнитных скирмионов, наблюдаемых экспериментально [12–15], а также рассчитанных методами микромагнитной симуляции [17–21], до сих пор является предметом активных научных дискуссий. Авторы работы [14] связывают асимметрию мод с гиротропными осцилляциями скирмиона, в экспериментах [15,16] обнаружены две низкочастотные моды, исследования [12,13,17–21] указывают на наличие одной гиротропной моды в спектре возбуждений магнитных скирмионов.

Отметим другие динамические проявления структуры скирмиона: скирмионный эффект Холла (отклонение направления движения скирмиона от направления управляющего электрического тока) [22] и топологический эффект Холла (влияние создаваемого скирмионом неоднородного калибровочного магнитного поля и как следствие, электрического поля на его транспортные свойства) [23,24], которые пока не нашли полного теоретического объяснения.

В данной работе рассмотрены вопросы, связанные с возбуждениями скирмионного состояния в круглых наноточках. Рассчитаны спектры возбуждений скирмионов в изолированной круглой наноточке, проведена классификация спектра по высокочастотным модам различной пространственной симметрии и низкочастотным модам скирмионов с фиксированной фазой (скирмионов Блоха и Нееля). На основе проведенных расчетов выделены основные различия между гиротропной частотой и частотами спиновых волн изолированных скирмионов. Проанализирован спектр возбуждений линейной цепочки скирмионов, найдены характерные различия частот ферромагнитного резонанса, дисперсии и групповой скорости взаимодействующих блоховских и неелевских скирмионов.

2. Постановка задачи и основные уравнения

Исследование динамики скирмионных распределений намагниченности проводится в рамках двух подходов: непосредственного анализа уравнения Ландау–Лифшица и решения уравнения Тилля, которое является частным случаем уравнения Ландау–Лифшица, справедливое при солитонноподобной структуре рассматриваемого решения.

Для расчета динамических характеристик скирмионов удобно воспользоваться приближенной функцией, т.е.

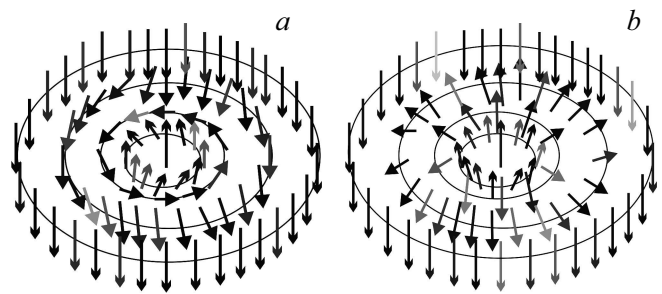


Рис. 1. Структура магнитного скирмиона: *a*) скирмион Блоха (разворот намагниченности осуществляется в плоскости, перпендикулярной радиальному направлению), *b*) скирмион Нееля (разворот намагниченности происходит вдоль радиального направления).

использовать математический анзац, который позволяет описать структуру скирмионного состояния. Достаточно хорошим приближением является аналитическая функция Белявина–Полякова $f(z)$, $z = x + iy$, полученная в 1975 г. при расчете метастабильных состояний изотропных 2D-магнетиков [25]. Последующие исследования, проведенные в работах [26,27], показали, что данный анзац является адекватным приближением и для описания вихревых магнитных состояний в изотропных магнетиках со значительным магнитостатическим взаимодействием.

Компоненты единичного вектора намагниченности $\mathbf{m} = \mathbf{M}/M_s$ можно выразить через функцию $f(z)$ следующим образом:

$$m_x + im_y = \frac{2f(z)}{1 + |f(z)|^2}, \quad m_z = \frac{1 - |f(z)|^2}{1 + |f(z)|^2}. \quad (1)$$

Мы используем частный случай решения Белявина–Полякова (БП анзац) $f(z) = e^{i\Phi_0}(z - s)/c$, соответствующий одному скирмиону, центрированному в точке s , здесь $c = R_c/c$ — приведенный радиус магнитного скирмиона, Φ_0 — угол, определяющий фазу скирмиона или характер разворота намагниченности в скирмионе, безразмерный параметр $s = \mathbf{X}/R$ характеризует смещение центра скирмиона из положения равновесия в центре наноточки ($z = 0$), обусловленное действием внешних факторов, R — радиус наноточки.

Мы предполагаем жесткую структуру динамического скирмионного состояния, т.е. учитываем только низкочастотные гиротропные моды и не рассматриваем вклад всех высокочастотных спиновых волн. В рамках такого подхода использование функции Белявина–Полякова для описания магнитных скирмионов с азимутальным и радиальным разворотом векторов намагниченности, где характер разворота определяется значением угла Φ_0 , является правомерным. Скирмионы с $\Phi_0 = C\pi/2$, где $C = \pm 1$ — параметр, определяющий киральность скирмиона, и $\Phi_0 = 0$, π классифицируются как блоховские и неелевские скирмионы (рис. 1).

Для расчета спектра возбуждений нам потребуется энергия магнетика, в которой мы будем учитывать энергию изотропного обмена, энергию магнитной анизотропии, энергию магнитостатики, энергию Дзялошинского–Мория, акцентируя внимание на скирмионах, стабилизируемых взаимодействием Дзялошинского–Мория, а также условиях, необходимых для реализации скирмионов при отсутствии взаимодействия Дзялошинского–Мория. Плотность энергии магнетика имеет вид

$$F = A(\nabla \mathbf{m})^2 + w_D - Km_z^2 - \frac{1}{2} M_s \mathbf{m} \cdot \mathbf{H}_m, \quad (2)$$

где A — константа обменного взаимодействия, $K > 0$ — константа одноосной магнитной анизотропии, $\mathbf{m} = \mathbf{M}/M_s$ — единичный вектор намагниченности, M_s — намагниченность насыщения, \mathbf{H}_m — магнитостатическое поле, w_D — энергия Дзялошинского–Мория, представленная инвариантом Лифшица $w_D \sim \sum_{k=1}^3 \left(m_i \frac{\partial m_j}{\partial x_k} - m_j \frac{\partial m_i}{\partial x_k} \right)$. Конкретный вид инварианта Лифшица, слагаемого линейного по пространственным производным намагниченности, определяется симметрией рассматриваемой системы. Энергия Дзялошинского–Мория имеет вид $w_D = D(\mathbf{m} \cdot \text{rot } \mathbf{m})$ для кубических магнитных кристаллов симметрии B20 (классов симметрии T , O) и $w_D^* = D[m_z(\nabla \cdot \mathbf{m}) - (\mathbf{m} \cdot \nabla)m_z]$ для магнитных пленок и слоев вида Co/Pt, магнетиков классов симметрии C_{nv} , C_n , D_n , D_{2d} , S_4 [28].

Рассмотрим скирмионы в системах ограниченной геометрии, а именно скирмионы в наноточках, учитывая взаимодействие Дзялошинского–Мория в качестве одного из факторов, приводящих к стабилизации скирмионного состояния. Для расчета спектров магнитных возбуждений, формирующихся на фоне скирмиона, используем два подхода: низкочастотные гиротропные моды будут исследованы на основе решения уравнения Тилия. Решение задачи о высокочастотных колебаниях намагниченности, спиновых волнах, будет проведено на основе приближенного решения уравнения Ландау–Лифшица.

3. Гиротропные моды магнитных скирмионов

Для расчета низкочастотной динамики магнитных скирмионов, связанной с гиротропными колебаниями намагниченности, используем уравнение Тилия, которое в общем случае имеет следующий вид

$$\mathbf{G} \times \dot{\mathbf{X}} - \nabla_X W + \hat{D} \dot{\mathbf{X}} = 0, \quad (3)$$

где $\mathbf{G} = G_z \mathbf{z}$, $C_z = -p|G|$ — проекция гиротропного вектора на ось Oz , \mathbf{z} — радиус-вектор, направленный по нормали к поверхности наноточки вдоль оси Oz , $\boldsymbol{\rho}$ — радиус-вектор в плоскости наноточки, $W(\mathbf{X}) = L \int d^2 \boldsymbol{\rho} w(\mathbf{X})$ полная энергия магнетика, $p = \pm 1$ — поляризация скирмиона, \hat{D} — параметр

затухания [29]. Величина гиротропного вектора скирмиона, расположенного в центре наноточки ($\mathbf{X} = 0$), пропорциональна топологическому заряду [30] и может быть рассчитана по формуле

$$G_z = \frac{M_s L}{\gamma} \int d^2 \boldsymbol{\rho} \mathbf{m} \cdot [\partial_x \mathbf{m} \times \partial_y \mathbf{m}]. \quad (4)$$

При малых смещениях ядра скирмиона относительно положения равновесия, характеризуемого параметром $\mathbf{s} = \mathbf{X}/R$, $s = |\mathbf{s}| \ll 1$, полную энергию магнетика можно разложить в ряд по параметру s

$$W(s) = W(0) + \kappa |s|^2/2, \quad (5)$$

где $W(0)$ — это энергия центрированного скирмиона, κ — коэффициент при малом параметре $|s|^2$, который является коэффициентом жесткости. В случае ультратонких пленок ($L \sim 1$ nm), $\kappa(c)$ имеет вид (см. работу [31])

$$\kappa(c) = -16\pi M_s^2 L \frac{c^2}{(1+c^2)^3} \times \left[\pi Q(1-c^2) + \left(\frac{L_e}{R} \right)^2 \left(1 + \frac{1}{2} \frac{R}{L_e} dc \right) \right], \quad (6)$$

где $Q = K/2\pi M_s^2$ — фактор качества, $d = DL_e C/A$ ($d = -|d| < 0$ для скирмионов с наименьшей энергией, $DC < 0$), $L_e = \sqrt{2A/M_s}$.

Гиротропная частота находится на основе решения уравнения Тилия (3) и для изолированного скирмиона в наноточках в ультратонких пленках определяется уравнением

$$\omega_G = \omega_M \frac{c^2}{(1+c^2)^2} \times \left[(1-Q)(1-c^2) - \frac{1}{\pi} \left(\frac{L_e}{R} \right)^2 \left(1 + \frac{1}{2} \frac{R}{L_e} dc \right) \right], \quad (7)$$

где $\omega_M = \gamma 4\pi M_s$, $d < 0$. График зависимости гиротропной частоты от радиуса наноточки при разных значениях константы Дзялошинского–Мория показан на рис. 2.

В уравнении (6) при определенных сочетаниях параметров системы коэффициент жесткости может иметь отрицательный знак, что, как следует из формулы (7), приводит к неустойчивости скирмионного состояния (относительно малых отклонений от положения равновесия, определяемых параметром s). Такая ситуация возникает в системах с малым значением константы Дзялошинского–Мория, в этом случае стабилизация скирмиона определяется конкуренцией между магнитостатической энергией и энергией магнитной анизотропии. Вопрос о стабилизации скирмионного состояния в наноточке при отсутствии взаимодействия Дзялошинского–Мория рассмотрен в работе [32]. В работе [32] было показано, что скирмион является устойчивым магнитным состоянием наноточки при комнатных температурах в отсутствие магнитного поля и взаимодействия Дзялошинского–Мория в определенном диапазоне изменения полей магнитной анизотропии ($Q < 1$).

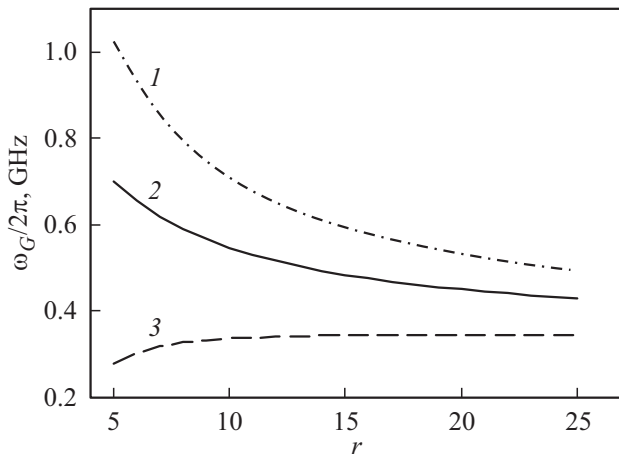


Рис. 2. График зависимости гиротропной частоты скирмиона Блоха, стабилизированного в круглой магнитной наноточке, от приведенного радиуса наноточки $r = R/L_e$, кривая 1 — $|d| = 4.90$, кривая 2 — $|d| = 2.90$, кривая 3 — $|d| = 0.29$ ($|D| = 0.3 \text{ erg/cm}^2$), $c = 0.6$, $Q = 0.94$ ($M_s = 1290 \text{ G}$, $A = 1.5 \cdot 10^{-6} \text{ erg/cm}$, $K = 9.8 \cdot 10^6 \text{ erg/cm}^3$, $L_e = 14 \text{ nm}$, $R = 50 \text{ nm}$).

Магнитостатическая энергия играет существенную роль при увеличении толщины наноточки ($L > 1 \text{ nm}$), а также при наличии нескольких скирмионов в системе, находящихся на расстояниях магнитостатической длины вплоть до 100 nm . Наличие магнитостатического взаимодействия влияет на устойчивость скирмионных состояний, а также на спектры низкочастотных возбуждений скирмионов. Магнитостатическая энергия определяется формулой

$$W_m(\mathbf{s}) = \frac{1}{2} M_s^2 \int dS \int dS' \frac{\rho_n(\mathbf{r}, \mathbf{s}) \rho_n(\mathbf{r}', \mathbf{s}')}{|\mathbf{r} - \mathbf{r}'|}, \quad (8)$$

где \mathbf{r} — радиус-вектор, связанный с вектором намагниченности, $\rho_n(\mathbf{r}, \mathbf{s})$ — плотность „магнитных зарядов“, обусловленных локальным полем неоднородного распределения намагниченности в скирмионе. Различают объемные и поверхностные „магнитные заряды“ $\rho_{\text{vol}}(\mathbf{r}, \mathbf{s}) = -M_s \text{div} \mathbf{m}$ и $\rho_{\text{surf}}(\mathbf{r}, \mathbf{s}) = M_s (\mathbf{m} \cdot \mathbf{n})$. В случае центрированных блоховских скирмионов в магнитных наноточках поверхностные „магнитные заряды“ имеют одну составляющую $m_z = (\mathbf{m} \cdot \hat{\mathbf{z}})$ (боковые и объемные „магнитные заряды“ в этом случае отсутствуют). В случае неелевских скирмионов в наноточках присутствуют объемные „магнитные заряды“, а поверхностные заряды имеют две составляющие $m_\rho = (\mathbf{m} \cdot \hat{\rho})$, $m_z = (\mathbf{m} \cdot \hat{\mathbf{z}})$. Как было показано в работе [33], учет магнитостатической энергии приводит к перенормировке частоты гиротропной моды изолированного скирмиона,

$$\omega'_G = \omega_G + \Delta\omega_G(c, \beta), \quad (9)$$

где ω_G определяется формулой (7). В случае круглых магнитных наноточек в ультратонких пленках ($L \sim 1 \text{ nm}$) гиротропная частота ω_G имеет одинаковый

вид для скирмионов Блоха и Нееля. А в случае магнитных наноточек в пленках с толщиной $L > 1 \text{ nm}$ при увеличении толщины появляется дополнительный вклад в частоту $\Delta\omega_G(c, \beta)$, различный для блоховских и неелевских скирмионов из-за разного вклада динамических объемных и боковых поверхностных „магнитных зарядов“ (см. работу [33]).

В системе взаимодействующих скирмионов в разложении свободной энергии $W = \frac{1}{2} \sum_n \kappa_n s_n \bar{s}_n + \frac{1}{2} \sum_{n, n'} W_{\text{int}}(n, n')$ необходимо учитывать вклад, обусловленный энергией взаимодействия W_{int} , здесь n — порядковый номер скирмиона в массиве скирмионов. В случае скирмионов, удаленных друг от друга на расстояние порядка магнитостатической длины, например, в линейной цепочке наноточек, энергия взаимодействия между скирмионами $W_{\text{int}} = \iint \frac{\rho(\mathbf{r}_n) \rho(\mathbf{r}_{n'})}{|\mathbf{r}_n - \mathbf{r}_{n'} - \mathbf{R}_{nn'}|} dV dV'$ может быть представлена в виде разложения по мультипольным моментам $Q_l^m = \sqrt{4\pi/(2l+1)} \int dV \rho(\mathbf{r}) r^l Y_l^m(\mathbf{r})$, где l — номер мультипольного момента, $m = -l, 0, +l$, $Y_l^m(\mathbf{r})$ — нормированные сферические функции [34]. Отличительной особенностью скирмионных состояний является значительный вклад в распределение намагниченности в скирмионе m_z компоненты намагниченности, что приводит к появлению квадрупольных моментов $Q_2^m(n)$ и дополнительному вкладу в дипольный момент скирмиона $Q_1^0(n)$. Хотя диполь-дипольное взаимодействие является основной составляющей магнитостатического взаимодействия, учет вклада квадрупольных моментов и моментов более высокого порядка приводит к заметным изменениям спектров частот. В работе [35] показано, что частота коллективных колебаний цепочки скирмионов определяется выражением

$$\omega_k^2 = (\omega_G + \Delta\omega - a_k - |b_k|)(\omega_G + \Delta\omega - a_k + |b_k|), \quad (10)$$

$$\Delta\omega = -\frac{1}{4} \omega_M \frac{\beta}{d^3} \mu_z^0 \sigma^d(0) \frac{c^2}{1+c^2}, \quad \omega_d = -\omega_M \frac{\beta}{8d^3} \frac{c^2}{1+c^2},$$

$$\omega_q = \omega_M \frac{\beta}{d^4} c^3 \left(\ln \left(1 + \frac{1}{c^2} \right) - \frac{1}{1+c^2} \right),$$

$$a_k = -\omega_d \sigma_k^d + \omega_q \sigma_k^q \sin \Phi_0,$$

$$|b_k| = \sqrt{\frac{9}{4} \omega_d^2 (\sigma_k^d)^2 + \omega_q^2 (\sigma_k^q)^2},$$

$$\sigma_k^d = 2 \sum_{n=1}^{\infty} \frac{\cos(nk)}{n^3}, \quad \sigma_k^q = 2 \sum_{n=1}^{\infty} \frac{\cos(nk)}{n^4}, \quad \beta = \frac{L}{R}.$$

Спектр возбуждений массива скирмионов имеет зонную структуру, причем ширина и положение зоны, как следует из формулы (10), зависит от фазы скирмиона Φ_0 . Подобная зависимость отсутствовала в формулах (7), (9) для гиротропной моды изолированного скирмиона. Это говорит о том, что внутренняя структура скирмионов проявляется при динамическом взаимодействии скирмионов. Рассчитанная по формуле (10) разница

частот ферромагнитного резонанса блоховских и неелевских скирмионов имеет порядок 0.1 GHz для материалов с параметрами [14], что говорит о возможности экспериментальной регистрации структуры магнитных скирмионов по динамическому отклику, в частности методом широкозонного ферромагнитного резонанса.

4. Спиновые волны в спектре колебаний изолированного магнитного скирмиона в наноточке

Рассмотрим особенности спектров спиновых волн, возбуждаемых на фоне скирмионного состояния в изолированной наноточке. Для этого перейдем к угловым переменным, определяющим равновесное положение вектора намагниченности $\mathbf{m} = (\sin \Theta \cos \Phi, \sin \Theta \sin \Phi, \cos \Theta)$, где Θ и Φ — полярный и азимутальный углы в сферической системе координат, связанной с вектором \mathbf{m} , и к цилиндрическим координатам, используемым для описания радиус-вектора $\mathbf{r}(\rho, z)$, где ρ — радиус-вектор в плоскости наноточки, ρ, φ — полярные координаты в плоскости наноточки, z — координата вдоль высоты наноточки.

Уравнение Ландау–Лифшица $M = -\gamma[\mathbf{M} \times \mathbf{H}_{\text{эф}}] + \frac{\alpha}{M_0} [\mathbf{M} \times \dot{\mathbf{M}}]$, $\mathbf{H}_{\text{эф}} = -\frac{\delta F}{\delta \mathbf{M}}$ в угловых переменных (Θ, Φ) имеет вид

$$\frac{M_s}{2\gamma} \sin \Theta \dot{\Theta} = A \left((\nabla^2 \Phi) \sin^2 \Theta + (\nabla \Theta \cdot \nabla \Phi) \sin 2\Theta \right) - D(\nabla \Theta \cdot \mathbf{m}) \sin \Theta, \quad (11)$$

$$\frac{M_s}{2\gamma} \sin \Theta \dot{\Phi} = [K + A(\nabla \Phi)^2] \sin \Theta \cos \Theta - A \nabla^2 \Theta - D(\nabla \Phi \cdot \mathbf{m}) \sin \Theta. \quad (12)$$

Мы пренебрегаем затуханием в системе, полагая $\alpha = 0$, что является вполне оправданным, так как параметр затухания в рассматриваемых системах имеет величину порядка 0.01. Предполагая возбуждения скирмионного состояния малыми, линеаризуем уравнения (11),(12). Для этого перейдем к локальной системе координат, связанной с равновесной намагниченностью \mathbf{m}_0 ($\mathbf{m}_0 \cdot \delta \mathbf{m} = 0$), и используем замену $\mathbf{m}(\mathbf{r}, t) = \mathbf{m}_0(\mathbf{r}) + \delta \mathbf{m}(\mathbf{r}, t)$. В выбранной локальной системе координат ось Oz' совпадает с направлением равновесной намагниченности, динамическая намагниченность $\delta \mathbf{m}$ вращается в плоскости $x'Oy'$. В данном случае отклонения намагниченности от равновесного положения, выраженные в угловых переменных, примут вид

$$\Theta(\rho, t) = \Theta_0(\rho) + \vartheta(\rho, t), \quad \Phi(\rho, t) = \Phi_0(\rho) + \psi(\rho, t), \quad (13)$$

$$\vartheta(\rho, t) = a_{nm}(\rho) \cos(m\varphi - \omega t),$$

$$\psi(\rho, t) = -\sin \Theta_0 \psi(\rho, t) = b_{nm}(\rho) \sin(m\varphi - \omega t), \quad (14)$$

где функции a_{nm} и b_{nm} определяют радиальные профили магнитных мод, n и m — номера радиальных и ази-

мутальных мод, ω — собственная частота колебаний магнитного скирмиона.

Будем считать, что профиль скирмиона определяется пробной функцией, описывающей распределение намагниченности в радиальной доменной границе $\text{tg} \frac{\Theta_0(\rho)}{2} = \exp \frac{\rho - R_c}{\Delta}$ (здесь R_c — координата центра доменной границы или радиус скирмиона, $\Delta = L_e / \sqrt{4\pi(Q - 1)}$ — ширина доменной границы). Таким образом, мы допускаем, что при $\Theta_0(0) = 0$ скирмион имеет полярность $p = \cos \Theta_0(0) = +1$. Отметим, что линеаризованные уравнения динамики, которые получаются после подстановки уравнений (13), (14) в систему уравнений (11), (12), не зависят от фазы скирмиона, а именно являются общими для изолированных скирмионов блоховского и неелевского типа. Мы также предполагаем ступенчатую зависимость компоненты m_z от радиальной координаты, характерную для ультратонких радиальных доменных границ ($R_c \gg \Delta$). Подробное решение данной задачи представлено в работе [36], здесь мы акцентируем внимание на основных зависимостях, которые позволяют выявить особенности высокочастотного спинволнового спектра скирмионного состояния намагниченности в цилиндрической наноточке. Частоты высокочастотных спиновых мод скирмионного состояния в наноточках в ультратонких пленках в рамках обменного приближения определяются уравнением

$$\frac{\omega_{nm}}{\omega_M} = Q - 1 + \frac{1}{4\pi} \left(\frac{L_e}{R_c} \right)^2 x_{nm}^2, \quad (15)$$

где $L_e = \sqrt{2A/M_s} \approx 15-20$ nm — обменная длина рассматриваемого магнитного материала, $x_{n,m}$ — корни секулярного уравнения [36], полученного из граничных условий для радиальных профилей спинволновых мод $a_{nm}(\rho)$, $b_{nm}(\rho)$ (условия непрерывности распределения намагниченности на границе цилиндрического магнитного домена, соответствующей радиусу скирмиона R_c , и условия сильного пиннинга, т.е. закрепления спинов на границе наноточки).

На рис. 3 показаны зависимости собственных частот линеаризованных уравнений Ландау–Лифшица (11), (12) от радиуса скирмиона в единицах радиуса наноточки (R_c/R). Магнитные параметры, использованные для расчета, соответствуют экспериментальной работе [14], в которой исследовалась динамика магнитных скирмионов в тонких Co/Pt наноточках. Отметим, что в рамках приближения ультратонкой доменной границы частоты спиновых волн явным образом не зависят от константы Дзялошинского–Мория D . Однако такая зависимость явно присутствует в зависимости равновесного радиуса скирмиона R_c от параметра D . Увеличение толщины наноточки приводит к стабилизации уже существующего скирмиона Блоха. В случае неелевских скирмионов происходит постепенный переход от скирмиона с конфигурацией Нееля к скирмиону с конфигурацией Блоха, обусловленный увеличением магнитостатической энергии, связанной с объемными и боковыми поверхностными „магнитными зарядами“.

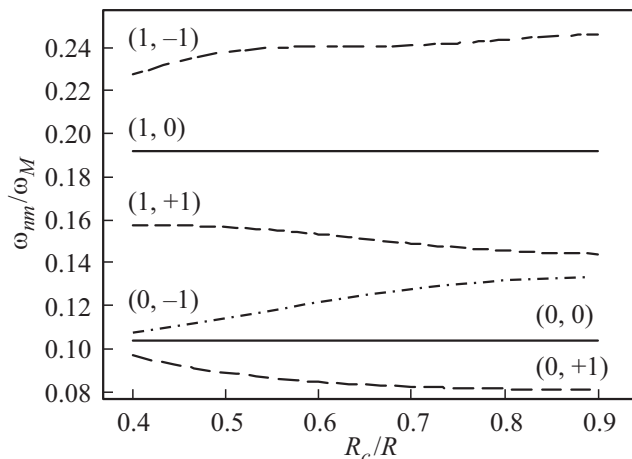


Рис. 3. График зависимости приведенных частот спиновых волн ω_{nm}/ω_M , возбуждаемых на фоне скирмиона в круглой магнитной наноточке радиуса 100 nm в зависимости от радиуса скирмиона R_c/R . $M_s = 1000$ G, $A = 1.6 \cdot 10^{-6}$ erg/cm², $K = 6.7 \cdot 10^6$ erg/cm³, $L_e = 18$ nm, $\omega_M/2\pi = 37.1$ GHz, $R = 100$ nm.

Характерная асимметрия собственных частот спиновых мод, различающихся знаком азимутального индекса m , который определяет азимутальные моды колебаний (рис. 3), говорит о том, что спиновые волны, соответствующие вращениям динамической намагниченности вокруг центра наноточки по и против часовой стрелки, различны. Это непосредственно связано с профилем скирмиона $m_z(\rho)$ или с наличием ненулевого топологического заряда, пропорционального гировектору, определенной формулой (4). Секулярное уравнение несимметрично относительно замены $m \rightarrow -m$. Оно имеет более сложную комбинационную симметрию, связанную с одновременной заменой $m \rightarrow -m$ и $p \rightarrow -p$. Азимутальные спиновые волны с индексами $m = +1/-1$ имеют качественные различия радиальных профилей для любых n (профили $a_{nm}(\rho)$, $b_{nm}(\rho)$ пропорциональны функциям Бесселя 1-го рода $J_{m-1}(x_{nm}\rho/cR)$). При этом профили спиновых волн с индексами $\pm|m|$ при $|m| > 1$ качественно идентичны. Положительная полярность $p = +1$ скирмиона соответствует гиротропному вращению центра скирмиона против часовой стрелки (CCW), которое сопровождается азимутальной спиновой волной с индексом $m = +1$, также вращающейся против часовой стрелки. Спиновая волна с $m = +1$ имеет высокую амплитуду, локализованную во внутреннем домене наноточки, и классифицируется как поддерживаемая спинволновая мода $\sim J_0(x_{n1}\rho/cR)$. Спиновая волна с индексом $m = -1$ (CW) вращается в противоположном гиротропному вращению направлении (по часовой стрелке). Как следствие ее амплитуда, локализованная во внутреннем домене, понижается вплоть до исчезновения, эта мода классифицируется как подавленная спинволновая мода $\sim J_2(x_{n,-1}\rho/cR)$. Остальные моды спиновых волн с азимутальными индексами $m = 0$ и $|m| > 1$

также подавляются в окрестности центра наноточки, так как их симметрия не соответствует симметрии гиротропной моды, определяемой индексами $m = +1/-1$.

5. Заключение

В данной работе рассмотрены основные аспекты динамики магнитных скирмионов в наноточках, включая расчет спектров спиновых волн и гиротропных мод изолированного скирмиона и системы взаимодействующих скирмионов на примере 1D массива. Проведена классификация мод возбуждений скирмионного состояния. Показано, что при возбуждении скирмионов в изолированной наноточке возбуждается единственная низкочастотная гиротропная мода, основными характеристиками которой являются: самая низкая частота в спектре возбуждений и локализация моды в центральной области наноточки. Т.е. гиротропная мода связана с осцилляциями центральной части (ядра) скирмиона. Определение частоты гиротропной моды имеет значение, в частности, для процессов динамического переключения полярности скирмионного состояния, которое осуществляется через гиротропную моду. Исследования высокочастотного спектра возбуждений скирмионов в наноточке показали, что азимутальные спиновые волны, распространяющиеся на фоне скирмиона, характеризуются асимметрией по отношению к вращению моды: частоты и профили азимутальных мод, вращающихся по и против часовой стрелки (CW и CCW), различны. Отличительной особенностью динамики изолированных скирмионов в круглых наноточках является то, что спектр возбуждений, как низкочастотный (гиротропное вращение ядра скирмиона), так и высокочастотный (спиновые волны), является идентичным для скирмионов Блоха и Нееля. Внутренняя структура скирмионного состояния проявляется при учете взаимодействия между скирмионами. Исследование спектра линейной цепочки наноточек с основным скирмионным состоянием показало существенное различие динамических характеристик (частот ферромагнитного резонанса (ФМР), закона дисперсии, групповой скорости, ширины магнетонной зоны) для скирмионов блоховского и неелевского типов, что позволяет предложить метод экспериментального обнаружения распределения спинов в скирмионе по динамическому отклику скирмионной системы, а именно по частоте ФМР, которая может быть зарегистрирована методом широкозонного ферромагнитного резонанса.

Список литературы

- [1] S. Mühlbauer, B. Binz, F. Jonietz, C. Pfleiderer, A. Rosch, A. Neubauer, R. Georgii, P. Boeni. *Science* **323**, 915 (2009).
- [2] X.-Z. Yu, Y. Onoze, N. Kanazawa, J.H. Park, J.H. Han, Y. Matsui, N. Nagaosa, Y. Tokura. *Nature* **65**, 901 (2010).
- [3] S. Seki, X.Z. Yu, S. Ishiwata, Y. Tokura. *Science* **336**, 198 (2012).

- [4] C. Moreau-Luchaire, N. Reyren, J. Sampaio, C.A.F. Vaz, N. Van Horne, K. Bouzehouane, K. Garcia, C. Deranlot, P. Warnicke, P. Wohlhüter, J.-M. George, M. Weigand, J. Raabe, V. Cros, A. Fert. *Nature Nanotechnol.* **11**, 444 (2016).
- [5] O. Boulle, J. Vogel, H. Yang, S. Pizzini, D.S. Chaves, A. Locatelli, T.O. Mendes, A. Sala, L.D. Buda-Prejbeanu, O. Klein, M. Belmeguenai, Y. Roussigne, A. Stashkevich, S.M. Cherif, L. Aballe, M. Foerster, M. Chshiev, S. Auffret, I.M. Miron, G. Gaudin. *Nature Nanotechnol.* **11**, 449 (2016).
- [6] S. Woo, K. Litzius, B. Krüger, M.Y. Im, M.Y. Caretta, K. Richter, M. Mann, A. Krone, R. Reeve, M. Weigand, P. Agrawal, P. Agrawal, P. Fischer, M. Kläui, G.S.D. Beach. *Nature Mater.* **15**, 501 (2016).
- [7] L. Sun, R.X. Cao, B.F. Miao, B. You, D. Wu, W. Zhang, A. Hu, H.F. Ding. *Phys. Rev. Lett.* **110**, 167201 (2013).
- [8] B.F. Miao, L. Sun, Y.W. Wu, X.D. Tao, X. Xiong, Y. Wen, R.X. Cao, P. Wang, D. Wu, Q.F. Zhan, B. You, J. Du, R.W. Li, H.F. Ding. *Phys. Rev. B* **90**, 174411 (2014).
- [9] M. Mruczkiewicz, P. Gruszecki, M. Zelent, M. Krawczyk. *Phys. Rev. B* **93**, 174429 (2016).
- [10] J. Kim, Y. Yang, Y.J. Cho, B. Kim, S.K. Kim. *Sci. Rep.* **7**, 45185 (2017).
- [11] M. Mochizuki, S. Seki. *J. Phys.: Condens Matter* **27**, 503001 (2015).
- [12] Y. Onose, Y. Okamura, S. Seki, S. Ishiwata, Y. Tokura. *Phys. Rev. Lett.* **109**, 037603 (2012).
- [13] Y. Okamura, F. Kagawa, M. Mochizuki, M. Kubota, S. Seki, S. Seki, S. Ishiwata, M. Kawasaki, Y. Onose, Y. Tokura. *Nature Commun.* **4**, 2391 (2013).
- [14] F. Büttner, C. Moutafis, M. Schneider, B. Krüger, C.M. Günther, J. Geilhufe, C. v. Korff Schmising, J. Mohanty, B. Pfau, S. Schaffert, A. Bisig, M. Foerster, T. Schulz, C.A.F. Vaz, J.H. Franken, H.J.M. Swagten, M. Kläui, S. Eisebitt. *Nature Phys.* **11**, 225–228 (2015).
- [15] T. Schwarze, J. Waizner, M. Garst, A. Bauer, I. Stasinopoulos, H. Berger, C. Pfleiderer, D. Grundler. *Nature Mater.* **14**, 478–483 (2015).
- [16] N. Ogawa, S. Seki, Y. Tokura. *Sci. Rep.* **5**, 9552 (2015).
- [17] S.Z. Lin, C.D. Batista, A. Saxena. *Phys. Rev. B* **89**, 024415 (2014).
- [18] S. Zhang, J. Wang, Q. Zheng, Q. Zhu, X. Liu, S. Chen, C. Jin, Q. Liu, C. Jia, D. Xue. *New J. Phys.* **17**, 023061 (2015).
- [19] F. Garcia-Sanchez, J. Sampaio, N. Reyren, V. Cros, J.V. Kim. *New J. Phys.* **18**, 075011 (2016).
- [20] M. Beg, M.A. Bisotti, D. Cores-Ortuno, W. Wang, R. Carey, M. Vousden, O. Novorka, C. Ciccarelli, C.S. Spencer, C.H. Marrows, H. Fangohr. *Phys. Rev. B* **95**, 014433 (2017).
- [21] M. Mruczkiewicz, M. Krawczyk, K.Y. Guslienko. *Phys. Rev. B* **95**, 094414 (2017).
- [22] W. Jiang, X. Zhang, G. Yu, W. Zhang, M.B. Jungfleisch, J.E. Pearson, O. Heinonen, K.L. Wang, Y. Zhou, A. Hoffmann, S.G.E. Velthuis. *Nature Phys.* **13**, 162 (2017).
- [23] A. Neubauer, C. Pfleiderer, B. Binz, A. Rosch, R. Ritz, P.G. Niklowitz, P. Böni. *Phys. Rev. Lett.* **102**, 186602 (2009).
- [24] T. Schulz, R. Ritz, A. Bauer, M. Halder, M. Wagner, C. Franz, C. Pfleiderer. *Nature Phys.* **8**, 301 (2012).
- [25] А.А. Белавин, А.М. Поляков. Письма в ЖЭТФ **22**, 503 (1975).
- [26] Н.А. Усов, С.Е. Песчаный. ФММ **78**, 13 (1994).
- [27] K.L. Metlov, K.Y. Guslienko. *J. Magn. Magn. Mater.* **242–245**, 1015 (2002).
- [28] A.O. Leonov, T.L. Monchesky, N. Romming, A. Kubetzka, A.N. Bogdanov, R. Wiesendanger. *New J.Phys.* **18**, 065003 (2016).
- [29] K.Y. Guslienko, J. Nanosci. *Nanotechnol.* **8**, 2745 (2008).
- [30] K.Y. Guslienko. *EPL* **113**, 67002 (2016).
- [31] K.Y. Guslienko, Z.V. Gareeva. *IEEE Magn. Lett.* **8**, 4100305 (2017).
- [32] K.Y. Guslienko. *IEEE Magn. Lett.* **6**, 4000104 (2015).
- [33] K.Y. Guslienko, Z.V. Gareeva. *J. Magn. Magn. Mater.* **442**, 176–182 (2017).
- [34] O.V. Sukhostavets, J. Gonzalez, K.Y. Guslienko. *Phys. Rev. B* **87**, 094402 (2013).
- [35] Z.V. Gareeva, K.Y. Guslienko. *J. Phys. Commun.* (2017).
- [36] Z.V. Gareeva, K.Y. Guslienko. *Phys. Stat. Solidi (RRL) — Rapid Res. Lett.* **10**, 227–232 (2016).